

# О РАЗРЕШАЮЩЕЙ СПОСОБНОСТИ МЕТОДА ИНВЕРСИОННОЙ ВОЛЬТАМПЕРОМЕТРИИ НА РТУТНОМ КАПЕЛЬНОМ ЭЛЕКТРОДЕ ЗА СЧЕТ ОБЪЕМНЫХ ПОСЛЕДУЮЩИХ ХИМИЧЕСКИХ РЕАКЦИЙ

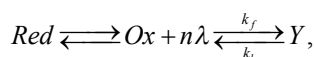
Ю.А. Карбаинов, Т.М. Гиндуллина, Г.Б. Слепченко, Е.Г. Черемпей, Д.С. Стукалов

Томский политехнический университет  
E-mail: Karbain@mail.ru

На основе закономерностей влияния последующей химической реакции на обратимые анодные пики на стационарном ртутном капельном электроде в методе инверсионной вольтамперометрии предложен новый способ разделения обратимо- и необратимо окисляющихся металлов с близкими значениями потенциалов их анодных пиков и количественный критерий оценки относительной погрешности в определении искомого металла в присутствии мешающего.

Рассмотренные ранее закономерности влияния последующей химической реакции на обратимые анодные пики на ртутном пленочном электроде (РПЭ) с качественной точки зрения остаются справедливыми и в случае стационарного ртутного капельного электрода (СРКЭ) [1–3], рис. 1, 2.

На этих рисунках  $k_f^0$  – приведенная константа скорости последующей химической реакции,  $\text{с}^{-1}$ ;  $k_f^0 = k_f \cdot C_\lambda^n$ ,  $C_\lambda$  – концентрация лиганда,  $n$  – координационное число;  $K_p^0 = K_p \cdot C_\lambda^n$  – константа равновесия последующей химической реакции



где  $k_a^*$  – коэффициент обратимого анодного пика,  $\text{А} \cdot \text{см} \cdot \text{г} \cdot \text{ат}^{-1}$ , в уравнении для силы тока анодного окисления *Red*

$$I_a = k_a^* S C_R^0,$$

$S$  – поверхность СРКЭ,  $\text{см}^2$ ;  $C_R^0$  – исходная концентрация *Red*,  $\text{г} \cdot \text{ат} \cdot \text{см}^{-3}$ ;  $q$  – поток диффузии *Red* у поверхности электрода,  $\text{моль} \cdot \text{см}^{-2} \cdot \text{с}^{-1}$ , величина, пропорциональная силе тока анодного окисления *Red*;  $r_0$  – радиус СРКЭ,  $\text{см}$ ;  $\omega$  – скорость изменения потенциала,  $\text{В} \cdot \text{с}^{-1}$ .

Для количественной оценки степени разделения обратимо и необратимо окисляющихся металлов с близкими значениями потенциалов их предельных токов на СРКЭ были использованы в качестве исходных данные, представленные в [1, 2].

На их основе были рассчитаны величины:

$$X_1 = \frac{I_{n,i}^*}{I_n}, X_2 = \frac{b_{1/2,\kappa}}{b_{1/2,\kappa}^*}, X_3 = \frac{\Delta E_{n,i}^*}{\Delta E_n^0},$$

где  $I_{n,i}^*$  – высота анодного пика обратимо окисляющегося металла (величина предельного тока) при  $i$ -ой концентрации лиганда в растворе;  $b_{1/2,\kappa}^*$  – ши-

рина кинетической ветви полупика при заданной концентрации лиганда, мВ;  $\Delta E_{n,i}^* = E_{n,i}^* - E_n^0$  — сдвиг потенциала обратимого анодного пика при  $i$ -ой концентрации лиганда относительно потенциала обратимого анодного пика при  $C_L=0$ .

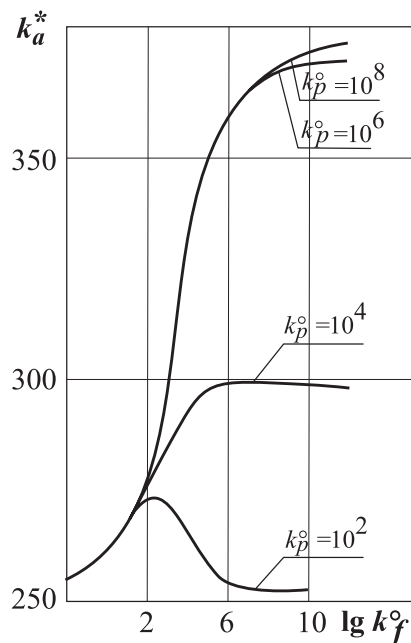


Рис. 1. Влияние последующей химической реакции на коэффициент предельного анодного тока.  $l=10^{-4}$  см,  $\omega=1,4 \cdot 10^{-4}$  В/с

В таблице представлены некоторые расчетные данные для  $K_p^0=10^6$  и различных значений безразмерного параметра

$$\gamma = \frac{RT}{F} \cdot \frac{1}{r_0^2} \cdot \frac{D_R}{z\omega},$$

где  $R=8,314$  Дж·К<sup>-1</sup>·моль·эВ<sup>-1</sup> — универсальная газовая постоянная;  $F=96500$  А·с·моль·эВ<sup>-1</sup> — постоянная Фарадея;  $D_R$  — коэффициент диффузии

восстановленной формы  $Red$ , см<sup>2</sup>·с<sup>-1</sup>;  $z$  — число электронов, принимающих участие в электрохимической стадии.

Таблица. Влияние гомогенной (объемной) последующей химической реакции на характеристики обратимых анодных пиков на СРКЭ

| Параметры<br>анодного пика | $\omega=5 \cdot 10^{-3}$ В/с,<br>$r_0=0,02$ см, $\gamma=0,099$ |        |        |           | $\omega=5 \cdot 10^{-3}$ В/с,<br>$r_0=0,04$ см, $\gamma=0,025$ |        |        |           |
|----------------------------|--|--------|--------|-----------|--|--------|--------|-----------|
|                            | $10^{-2}$  | $10^2$ | $10^6$ | $10^{10}$ | $10^{-2}$  | $10^2$ | $10^6$ | $10^{10}$ |
| $k_f^0/k_a^0$              | 1,0  | 1,15   | 1,60   | 1,77      | 1,0  | 1,14   | 1,44   | 1,53      |
| $b_{1/2,k}/b_{1/2,k}^0$    | 1,0  | 1,14   | 2,66   | 8,00      | 1,0  | 1,25   | 3,33   | 5,00      |
| $\Delta E_{n,i}^*/E_n^0$   | 0  | 0,29   | 0,83   | 0,89      | 0  | 0,29   | 0,90   | 0,94      |
| $E_{n,i}$ , мВ             | 125  | 89,18  | 10,82  | 2,71      | 135  | 95,53  | 13,95  | 8,68      |
| $\Delta E_{n,i}$ , мВ      | 0  | 35,82  | 114,18 | 122,29    | 0  | 39,47  | 121,05 | 126,32    |

Полученные данные свидетельствуют в целом о том, что на СРКЭ влияние последующих химических реакций на анодные пики обратимо окисляющихся металлов проявляется несколько слабее, чем на РПЭ. Действительно, например, при  $\omega=1,4 \cdot 10^{-2}$  В·с<sup>-1</sup> и  $l=1 \cdot 10^{-4}$  см изменение ширины полупика кинетической ветви обратимого анодного пика при  $k_f^0=10^{10}$  с<sup>-1</sup> и  $K_p^0=10^6$  составляет  $b_{1/2,k}/b_{1/2,k}^0=5,67$  раза, тогда как на СРКЭ при  $\omega=1 \cdot 10^{-2}$  В·с<sup>-1</sup>,  $r_0=0,04$  см и тех же параметрах химической реакции это изменение составляет только 4 раза; изменение коэффициента обратимого анодного пика в рассматриваемых условиях, соответственно, равно 2,37 и 1,43 раза. Аналогично обстоит дело и при других параметрах электродного процесса. В результате интерполяции расчетных данных, полученных на основе [1, 2], можно записать:

$$\alpha = \left\{ 1,8 \left[ \frac{(X_1 + X_2 + X_3)}{\lg \gamma} \right] \left[ \frac{X_3}{0,01 + X_3} \right] \right\} \cdot 100 \%,$$

где  $\alpha = \frac{I_{\text{нисх},1(E_{n,2})}}{I_{n,2}}$  — отношение величины тока нисходящей ветви пика первого, более отрицательного и обратимо окисляющегося металла при потенциа-

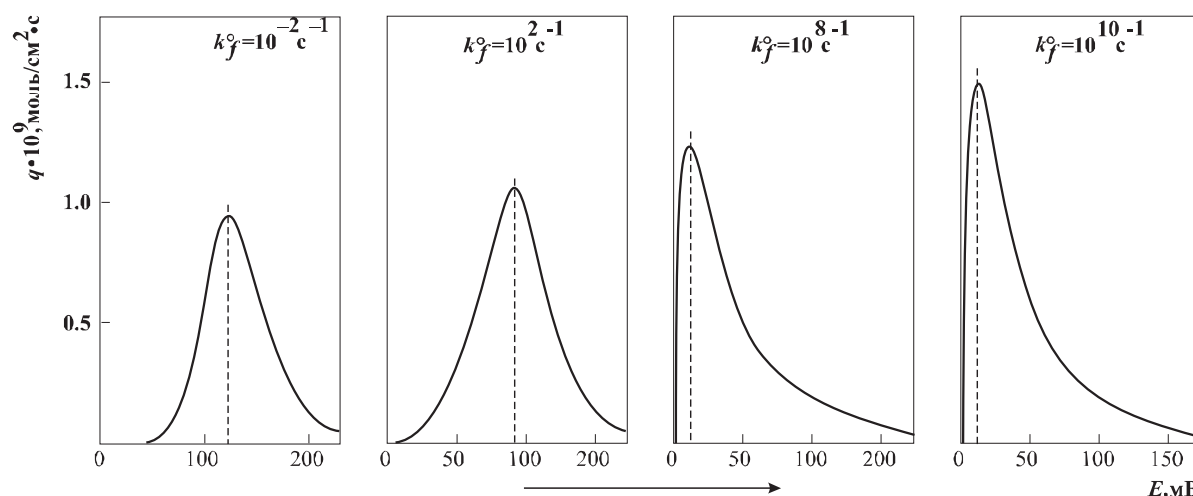


Рис. 2. Влияние последующей химической реакции на величину и форму обратимого анодного пика на СРКЭ.  $r_0=0,04$  см,  $\omega=5 \cdot 10^{-3}$  В/с,  $K_p^0=10^6$

ле пика второго необратимо окисляющегося металла к предельному току второго пика.

Величина этого отношения, выраженная в процентах, представляет собой относительную погрешность в определении необратимо окисляющегося металла в присутствии обратимо окисляющегося металла. Численная оценка этого отношения показывает, что в рабочих условиях инверсионной вольтамперометрии ( $r_0 \leq 0,04$  см,  $\omega \leq 10^{-2}$  В·с<sup>-1</sup>) разделение двух таких пиков с близкими значениями их потенциалов является достаточно эффективным. Так, увеличение  $k_f^0$  от  $10^{-2}$  до  $10^{10}$  с<sup>-1</sup> при  $K_p^0 = 10^6$  позволяет разделять пики с погрешностью 1,9 %, а при  $r_0 = 0,04$  см и  $\omega = 0,1 \dots 1$  В·с<sup>-1</sup> при тех же параметрах химической реакции величина  $\alpha$  уже значительно выше и составляет около 30 %. Связано это с тем, что с увеличением  $r_0$  и  $\omega$ , т.е. по мере изменения характера диффузии восстановленной формы *Red* от ограниченной к по-

лубесконечной, существенно ослабевает эффект влияния последующих химических реакций на пики обратимо окисляющихся металлов [1].

### Выводы

1. На основе закономерностей влияния последующей химической реакции на пики обратимо окисляющихся металлов рассмотрена возможность разделения пиков обратимо- и необратимо окисляющихся металлов с близкими значениями потенциалов их предельных токов на стационарном ртутном капельном электроде в инверсионной вольтамперометрии.
2. Получена интерполяционная формула, позволяющая оценивать относительную погрешность в определении искомого металла в присутствии мешающего.

### СПИСОК ЛИТЕРАТУРЫ

1. Карбаинов Ю.А., Резникова С.С., Стромберг А.Г. Влияние последующей химической реакции комплексообразования на обратимые анодные пики в методе амальгамной полярографии с накоплением на стационарном ртутном капельном электроде // Электрохимия. – 1973. – Т. 9. – № 9. – С. 1351–1353.
2. Карбаинов Ю.А., Резникова С.С., Стромберг А.Г. Зависимость коэффициента обратимого анодного пика от параметров последующей химической реакции комплексообразования в методе амальгамной полярографии с накоплением на стационарном ртутном капельном электроде // Электрохимия. – 1974. – Т. 10. – № 7. – С. 1156–1159.
3. Стромберг А.Г., Каплин А.А., Карбаинов Ю.А., Назаров Б.Ф., Колпакова Н.А., Слепченко Г.Б., Иванов Ю.А. Инверсионная вольтамперометрия в работах Томской научной школы // Известия вузов. Химия и хим. технология. – 2000. – Т. 43. – № 3. – С. 8–33.